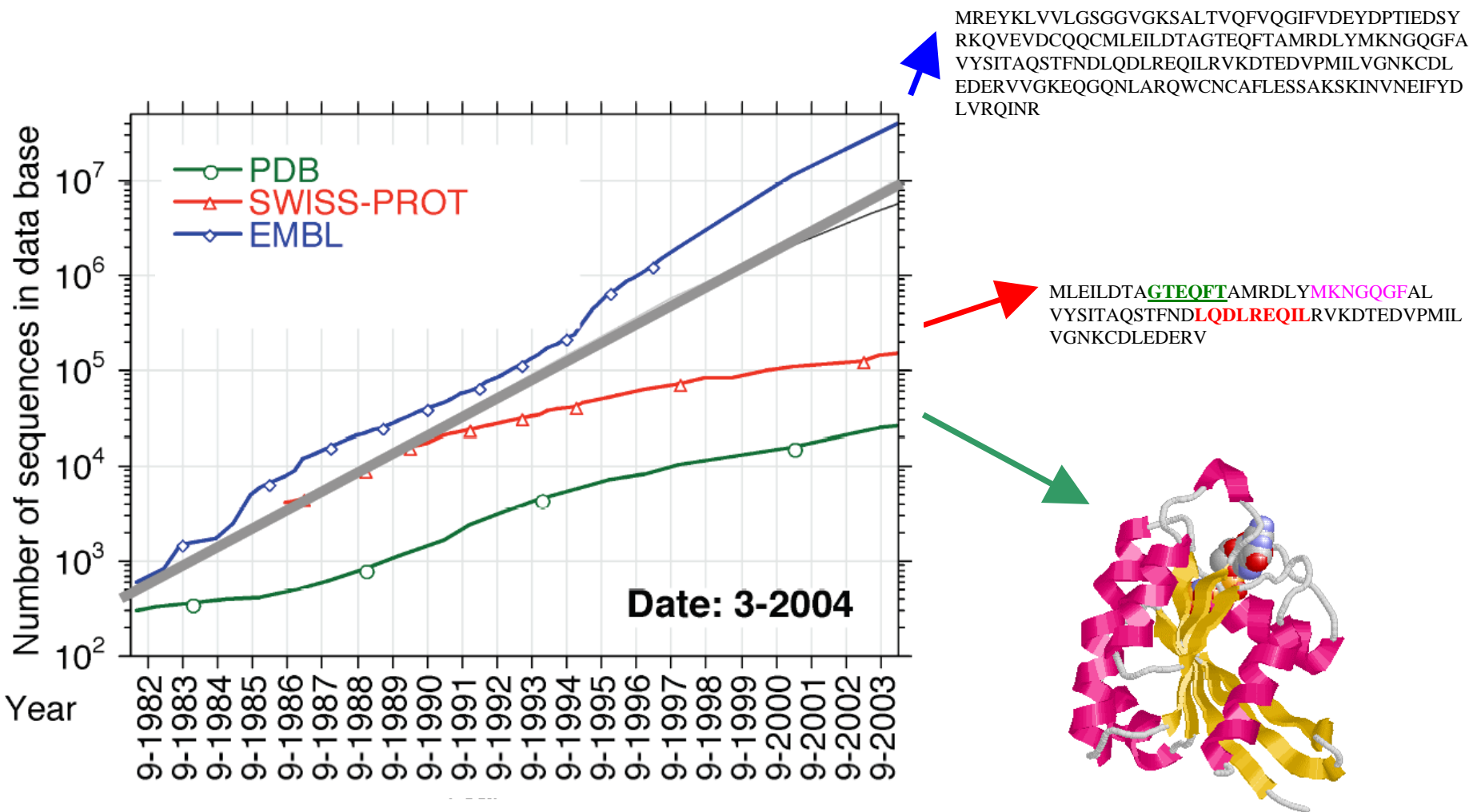

Estructura de Proteínas

Predicción de Estructura Secundaria y otras Características 1D

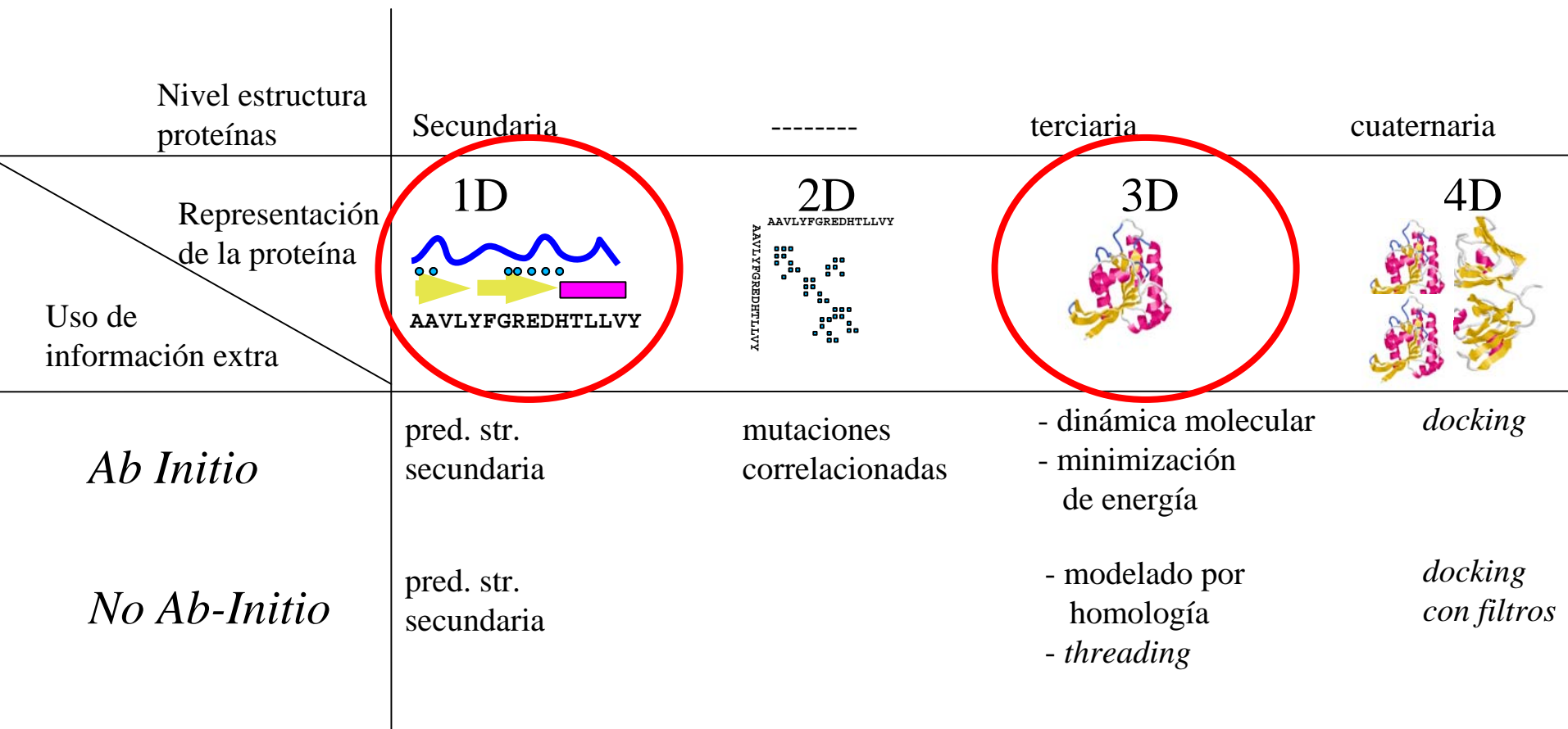
Florencio Pazos (CNB-CSIC)

Conocimiento experimental de secuencias, funciones y estructuras de proteínas



Predicción de estructura de proteínas

Clasificación de los métodos de predicción



Predictión de estructura de proteínas

Características 1D

Características 1D de una secuencia: Características que pueden ser representadas por un único valor asociado a cada aminoácido (B. Rost).

Estos valores suelen tomar la forma de etiquetas de estado, como por ejemplo en el caso de la estructura secundaria (H->hélice, E->lámina, T->giro). También pueden tomar valores continuos (% superficie accesible, ...)

Algunas características 1D:

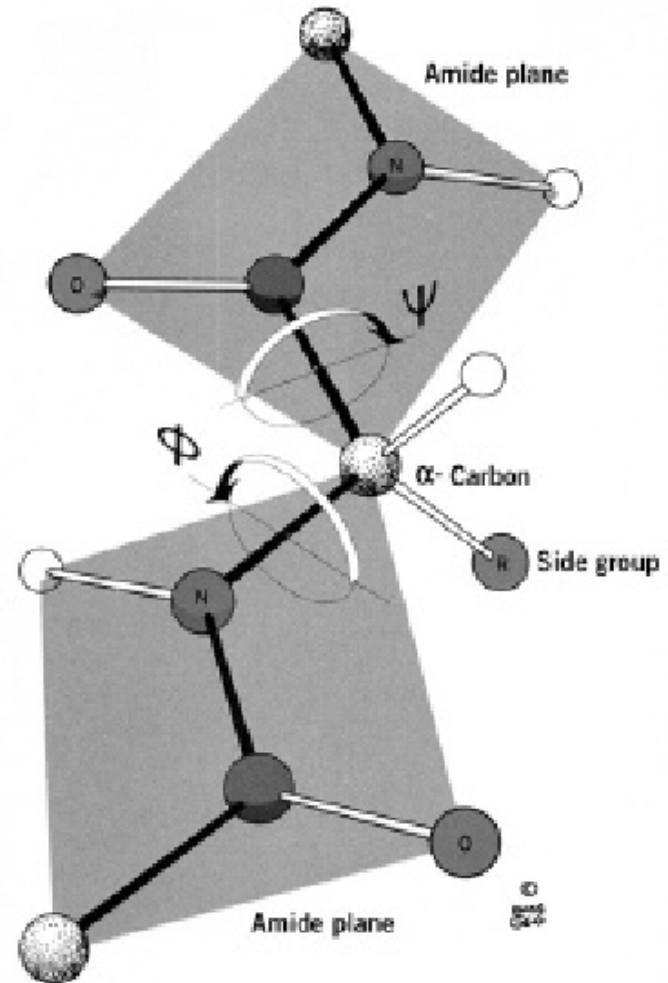
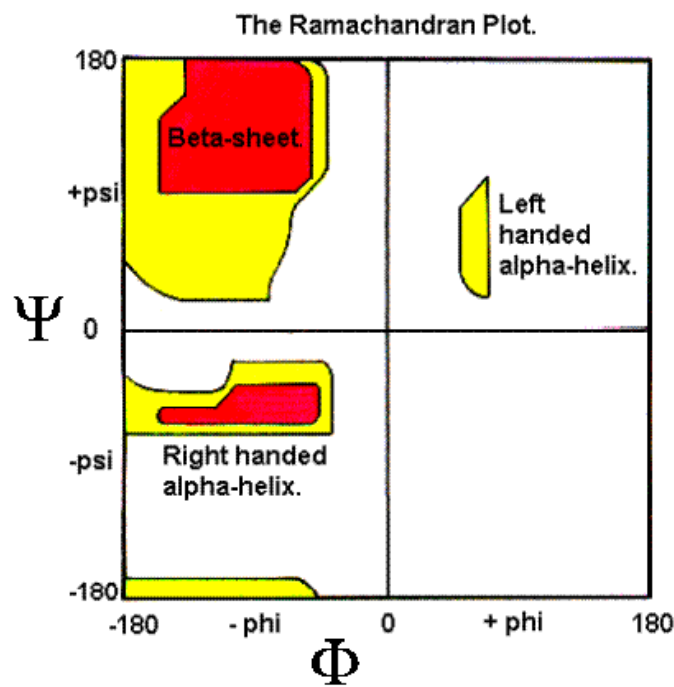
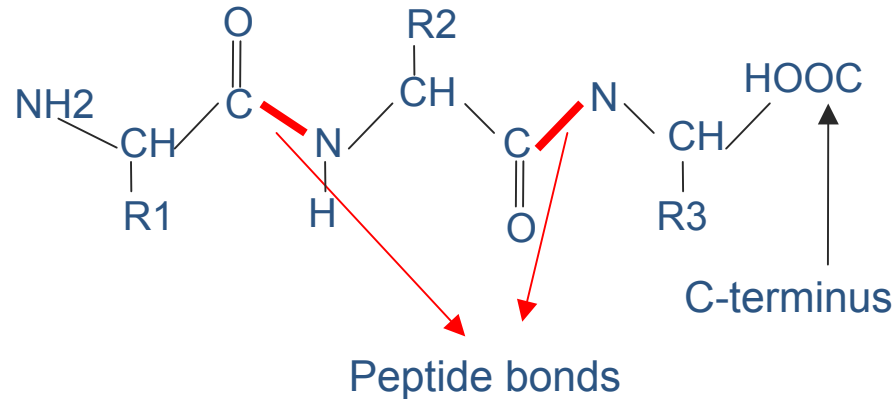
- Estructura secundaria
- Accesibilidad al solvente
- Modificaciones post-transcripcionales
- Péptidos señal
- Coiled-coils*
- Regiones desordenadas
- etc.

¿Por qué predecir estructura secundaria y otras características 1D?

- No siempre es posible generar un modelo 3D (fiable).
- Ayuda en la predicción de plegamiento 3D (restringe plegamientos posibles)
- Predicción de función: Motivos de estructura secundaria peculiares
- El mapeo de toda las predicciones 1D a lo largo de una secuencia da mucha información sobre los posibles dominios estructurales y funcionales, sitios activos, zonas diferenciadas,

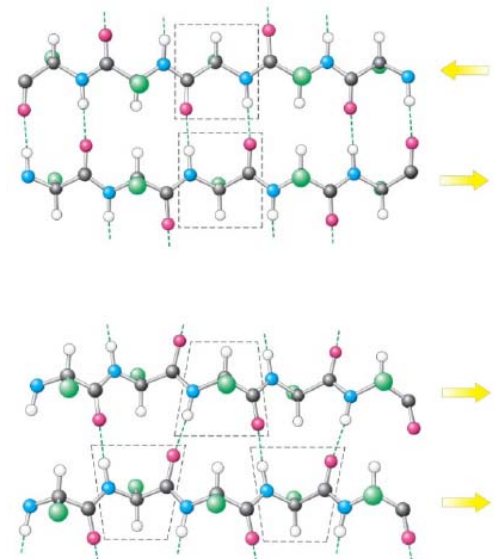
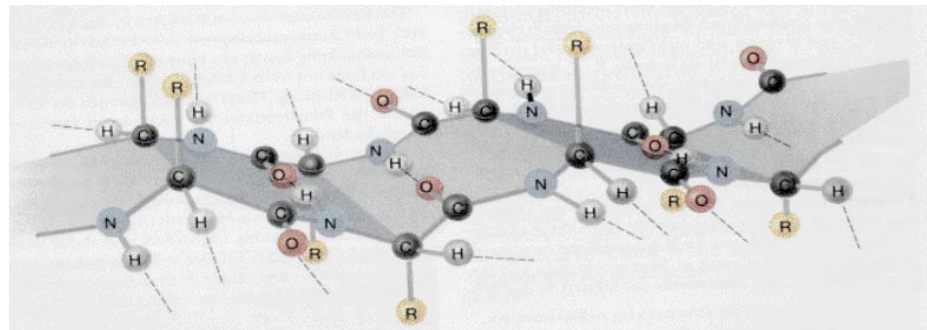
Características 1D

Estructura Secundaria

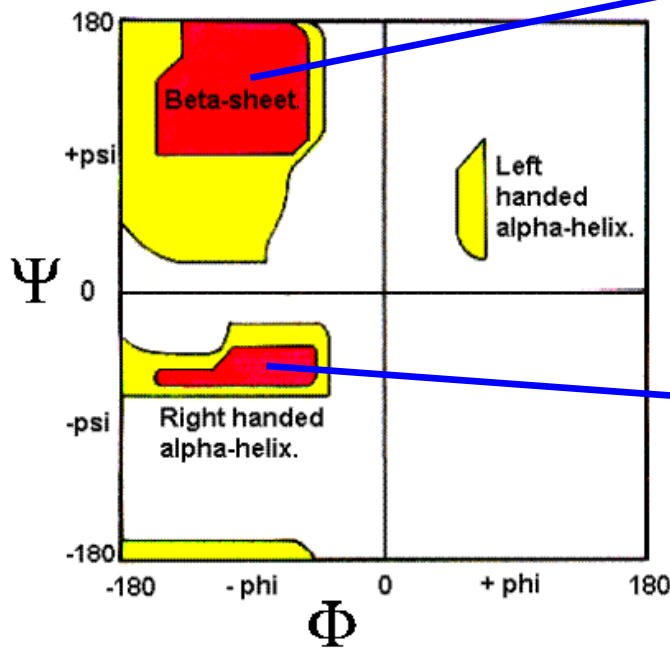


Características 1D

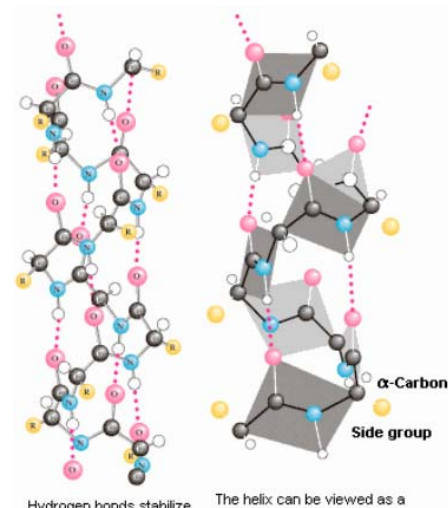
Estructura Secundaria



The Ramachandran Plot.

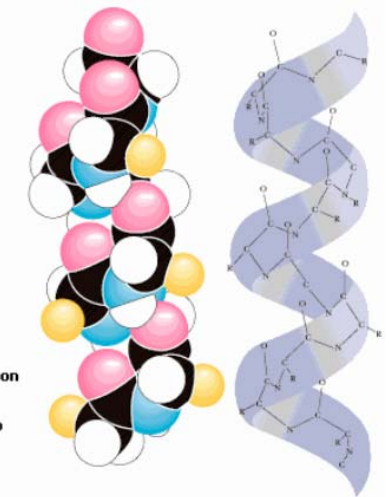


α -helix



Hydrogen bonds stabilize the helix structure.

The helix can be viewed as a stacked array of peptide planes hinged at the α -carbons and approximately parallel to the helix.



Características 1D Estructura Secundaria

1 ASKGEELFTGVVPILVELGDGVNGHKFSVSGEGEGDATYGKLTLKFICTT
TTGGGGSSEEEEEEEEEETTEEEEEEEEEEETTTTEEEEEEEETT

51 GKL PVPWPTLVTTFSYGVQCFSRYPDHMKRHDFFKSAMPEGYVQERTIFF
SS SS GGGGHHHHSSS GGG B GGGGGG HHHHTTTT EEEEEEEEEE

101 KDDGNYKTRAEVKFEGDTLVNRIELKGIDFKEDGNILGHKLEYNYNSHNV
TTS EEEEEEEEEEETTEEEEEEEEEE TTSTTTT B S EEE

151 YIMADKQKNGIKVNFKIRHNIEDGSVQLADHYQQNTPIGDGPVLLPDNHY
EEEEEEGGGETTEEEEEEEEEEETTS EEEEEEEEEEETSSSS SEE

201 LSTQSALS KDPNEKRDHMVLLEFVTAA GIT HGMDELYK
EEEEEEEEE TT SSEEEEEEES

Definición: T=hydrogen bond turn, H=helix, G=310 helix, I=phi helix, B=residue in isolated beta bridge, E=strand, and S=bend

Predicción: H/E/T (3 states only)

Estructura Secundaria Primera Generación de Métodos

Métodos estadísticos basados simplemente en la tendencia de cada aminoácido a formar cada uno de los elementos de estructura secundaria

- Chou y Fasman en 1974, propusieron el primero de estos métodos. Emplearon estadísticas extraídas de las **15 estructuras** resueltas por cristalografía de rayos-X en aquella época. Estas probabilidades fueron calculadas para cada resíduo por separado. Más adelante este método mostró una **exactitud del 57% sobre 62 proteínas**.
- Garnier (1978). Estimó las probabilidades para interacciones de **pares de resíduos** significativas, obteniendo una mayor fiabilidad (**~60%**)

Chou, P.Y. and Fasman, G.D. (1974) Prediction of protein conformation. *Biochemistry*, **13**, 222-244/225.

Garnier, J., Osguthorpe, D.J. and Robson, B. (1978) Analysis of the accuracy and implications of simple methods for predicting the secondary structure of globular proteins. *J. Mol. Biol.*, **120**, 97-120.

Estructura Secundaria

Primera Generación de Métodos

| Name | P (a) | P (b) | P (turn) | f (i) | f (i+1) | f (i+2) | f (i+3) |
|---------------|-------|-------|----------|-------|---------|---------|---------|
| Alanine | 142 | 83 | 66 | 0.06 | 0.076 | 0.035 | 0.058 |
| Arginine | 98 | 93 | 95 | 0.070 | 0.106 | 0.099 | 0.085 |
| Aspartic Acid | 101 | 54 | 146 | 0.147 | 0.110 | 0.179 | 0.081 |
| Asparagine | 67 | 89 | 156 | 0.161 | 0.083 | 0.191 | 0.091 |
| Cysteine | 70 | 119 | 119 | 0.149 | 0.050 | 0.117 | 0.128 |
| Glutamic Acid | 151 | 037 | 74 | 0.056 | 0.060 | 0.077 | 0.064 |
| Glutamine | 111 | 110 | 98 | 0.074 | 0.098 | 0.037 | 0.098 |
| Glycine | 57 | 75 | 156 | 0.102 | 0.085 | 0.190 | 0.152 |
| Histidine | 100 | 87 | 95 | 0.140 | 0.047 | 0.093 | 0.054 |
| Isoleucine | 108 | 160 | 47 | 0.043 | 0.034 | 0.013 | 0.056 |
| Leucine | 121 | 130 | 59 | 0.061 | 0.025 | 0.036 | 0.070 |
| Lysine | 114 | 74 | 101 | 0.055 | 0.115 | 0.072 | 0.095 |
| Methionine | 145 | 105 | 60 | 0.068 | 0.082 | 0.014 | 0.055 |
| Phenylalanine | 113 | 138 | 60 | 0.059 | 0.041 | 0.065 | 0.065 |
| Proline | 57 | 55 | 152 | 0.102 | 0.301 | 0.034 | 0.068 |
| Serine | 77 | 75 | 143 | 0.120 | 0.139 | 0.125 | 0.106 |
| Threonine | 83 | 119 | 96 | 0.086 | 0.108 | 0.065 | 0.079 |
| Tryptophan | 108 | 137 | 96 | 0.077 | 0.013 | 0.064 | 0.167 |
| Tyrosine | 69 | 147 | 114 | 0.082 | 0.065 | 0.114 | 0.125 |
| Valine | 106 | 170 | 50 | 0.062 | 0.048 | 0.028 | 0.053 |

Glu, Met Ala y Leu : tendencia a formar helices **hélices**.

Val, Ile y Tyr: tendencia a formar **láminas beta**.

Gly, Pro, ...: tendencia a formar **giros**.

Chou, P.Y. and Fasman, G.D. (1974) Prediction of protein conformation. *Biochemistry*, **13**, 222-244/225.

Garnier, J., Osguthorpe, D.J. and Robson, B. (1978) Analysis of the accuracy and implications of simple methods for predicting the secondary structure of globular proteins. *J. Mol. Biol.*, **120**, 97-120.

Estructura Secundaria Segunda Generación de Métodos

- La principal característica de estos métodos es la utilización de ventanas de resíduos adyacentes en secuencia, incluyendo así información de contexto a la predicción.
- Un gran número de algoritmos de predicción se usaron en esta generación de métodos:
 - Redes Neuronales Artificiales, Teoría de Grafos, Métodos basados en reglas, Estadística multivariable, ...
 - Esta innovación acercó la predicción de estructura secundaria a la barrera del 70% de fiabilidad.
- Limitaciones
 - Fiabilidad (predicciones 3-estados < 70%)
 - Se obtienen bajas fiabilidades para cadenas- β
 - La hélices y láminas predichas tienden a ser demasiado cortas.
 - Debido a:
 - El número de estructuras disponibles sigue siendo demasiado pequeño para extrapolar al espacio de secuencias. Difiriendo a veces entre distintos cristales para la misma secuencia.
 - NO se tienen en cuenta los efectos provocados por resíduos situados a grandes distancias en secuencia (pero no en el espacio)

Estructura Secundaria Tercera Generación de Métodos

Iniciada por Levin (~69%) y Rost y Sander en 1994 (PHD 72%)

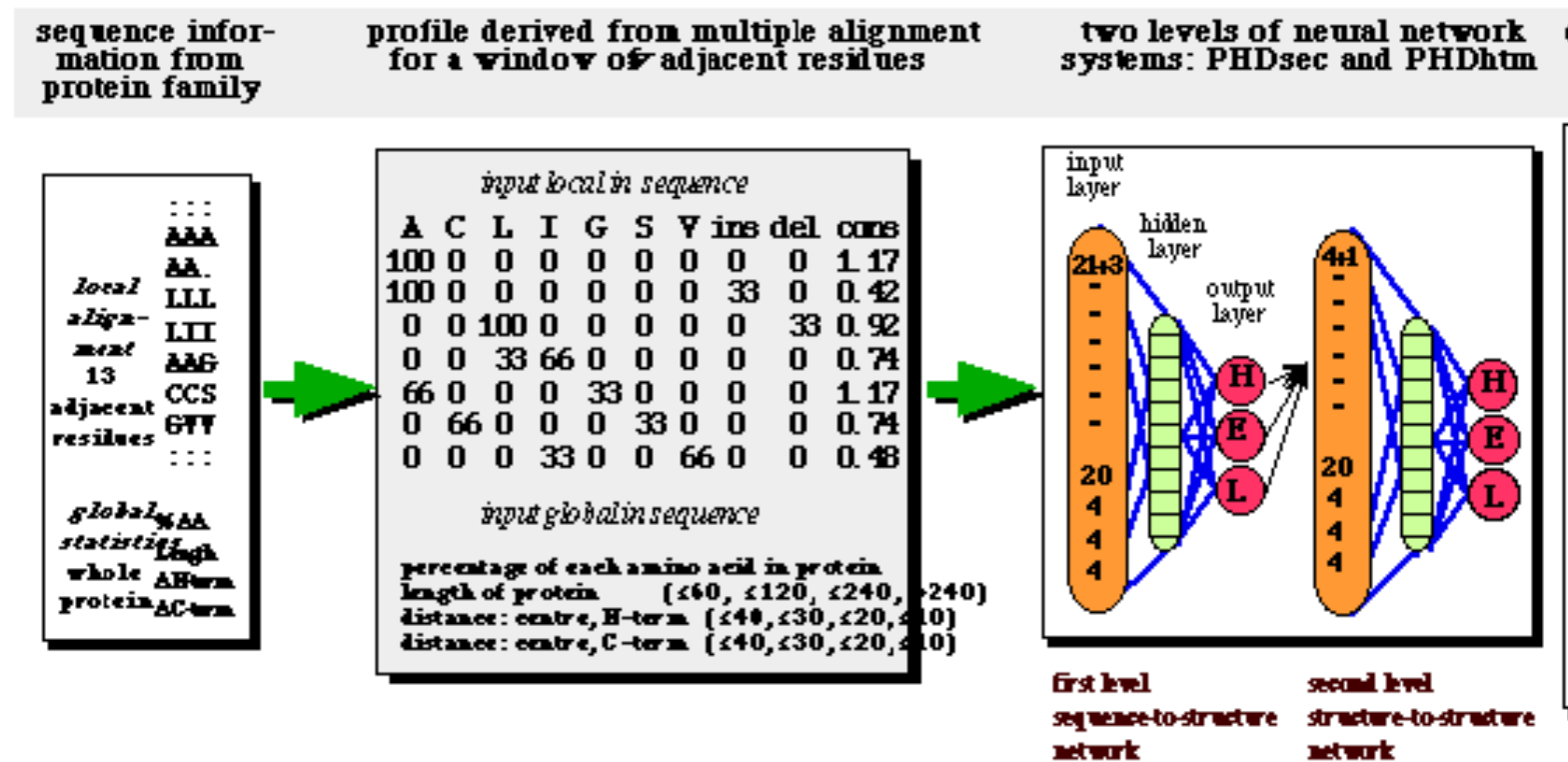
- La principal innovación de esta tercera generación es la inclusión de información evolutiva adicional en forma de alineamientos múltiples (perfils) (Levin, 1993).
- Además, se resuelve el sesgo en las predicciones de cadenas-β balanceando el conjunto de entrenamiento (dado que las estructuras contienen más hélices que láminas; Rost y Sander, 1994)
- “Suavizado” de predicciones mediante una segunda red.
- Rompen el límite del 70%

Levin JM, Pascarella S, Argos P, Garnier J. (1993). Quantification of secondary structure prediction improvement using multiple alignments. *Protein Eng.* **6(8)**:849-54.

Rost, B. and Sander, C. (1993) Improved prediction of protein secondary structure by use of sequence profiles and neural networks. *Proc Natl Acad Sci U S A*, **90**, 7558-7562.

Rost, B., Sander, C. and Schneider, R. (1994) PHD - A mail server for protein secondary structure prediction. *Comp. Applic. Biosci.*, **10**, 53-60.

Estructura Secundaria. Tercera Generación de Métodos



Rost, B. and Sander, C. (1993) Improved prediction of protein secondary structure by use of sequence profiles and neural networks.

Proc Natl Acad Sci U S A, **90**, 7558-7562.

Rost, B., Sander, C. and Schneider, R. (1994) PHD - A mail server for protein secondary structure prediction. *Comp. Applic. Biosci.*, **10**, 53-60.

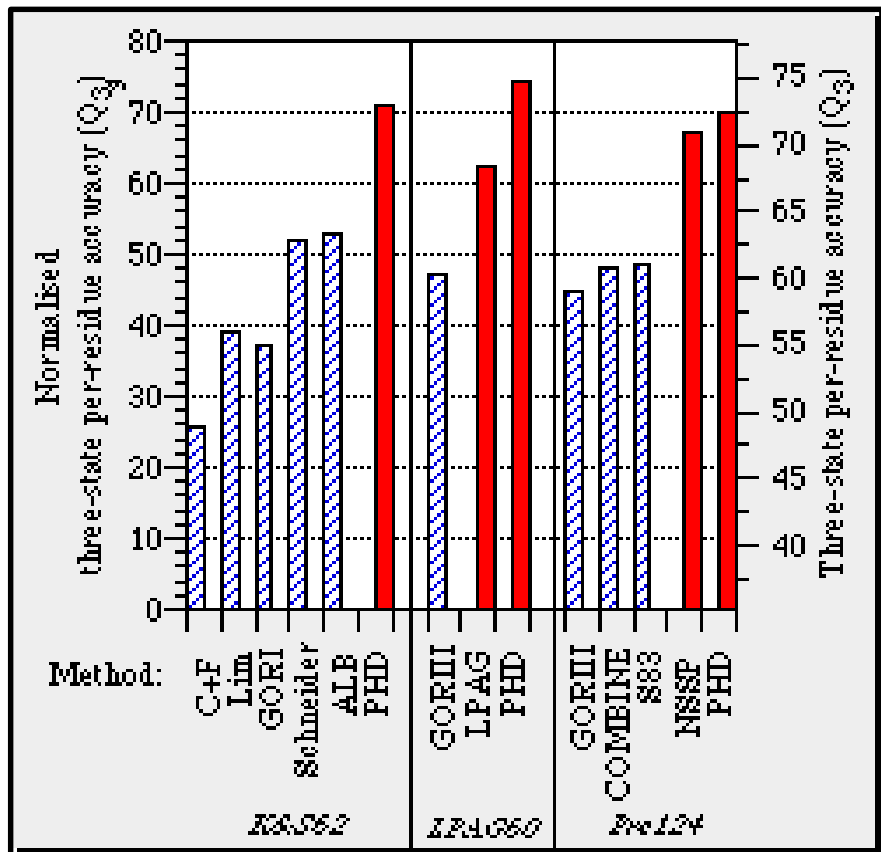
Estructura Secundaria. Tercera Generación de Métodos

- Varios métodos han seguido estrategias similares a PHD, mejorando sus resultados a través del prefiltrado de los alineamientos de entrada y la extensión de los perfiles mediante PSIBLAST introducido por David Jones en **PSIPRED** (1999) con fiabilidades próximas al **77%**, o mediante HMMs usados por Kevin Karplus *et al.* en **SAMT99sec** (1999).
- Otros métodos siguen una estrategia diferente, buscando el consenso de diferentes métodos, como es el caso de Jpred2 (Cuff y Barton, 2000).

Jones, D.T. (1999) Protein secondary structure prediction based on position-specific scoring matrices. *J Mol Biol*, **292**, 195-202.

Cuff JA, Clamp ME, Siddiqui AS, Finlay M, Barton GJ. (1998). JPred: a consensus secondary structure prediction server. *Bioinformatics*. **14(10)**:892-3.

Estructura Secundaria



Métodos de Primera generación: Chou & Fasman, Lim, GORI

Métodos de Segunda generación : Schneider, ALB, GORIII

Métodos de Tercera generación: LPAG, COMBINE, S83, NSSP, PHD

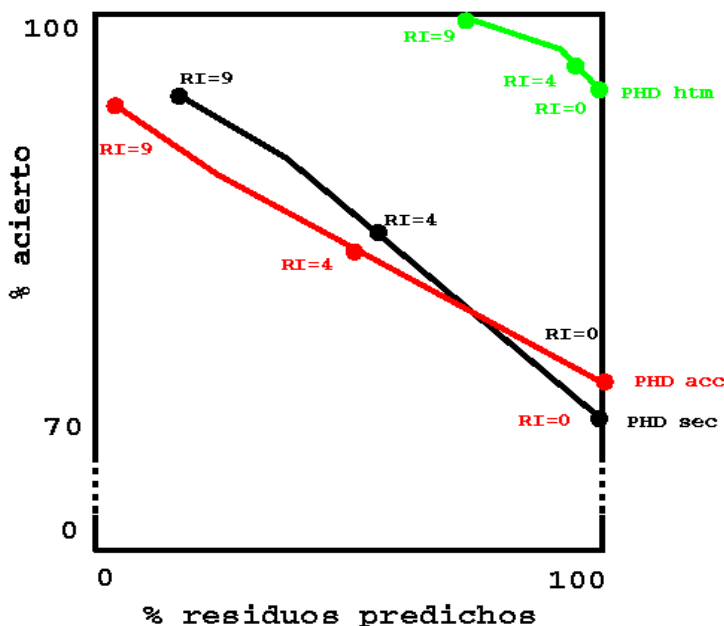
76-78%

Limite de fiabilidad?

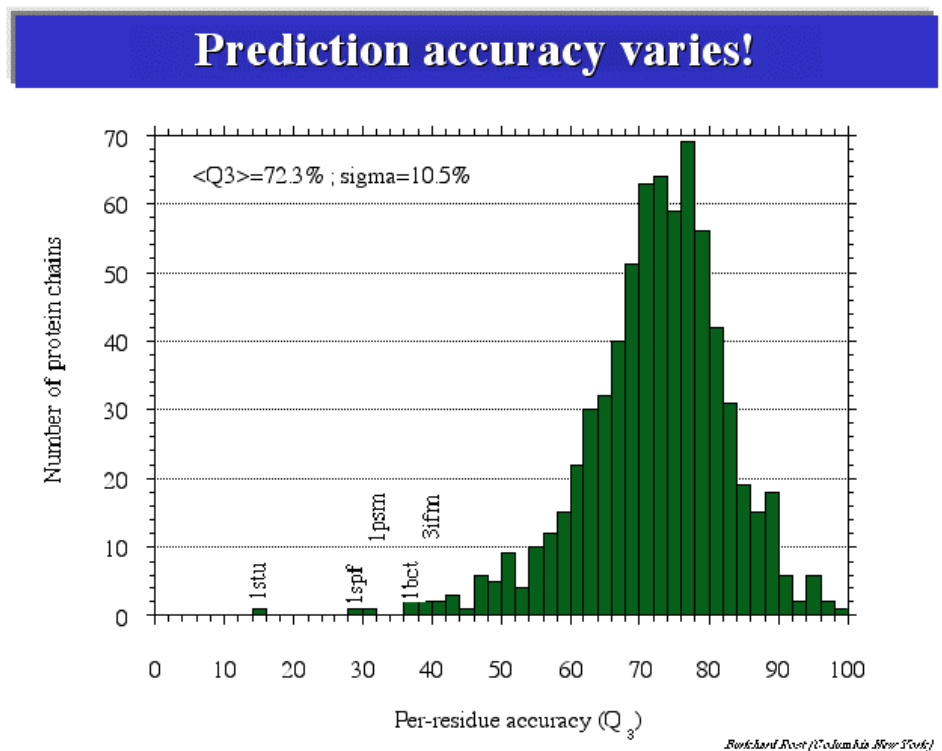
- Límite en la propia definición de estructura Secundaria (DSSP vs. Otros)
- Límite en información local

Predicción Estructura Secundaria (factores a tener en cuenta)

Equilibrio exactitud/% predicho



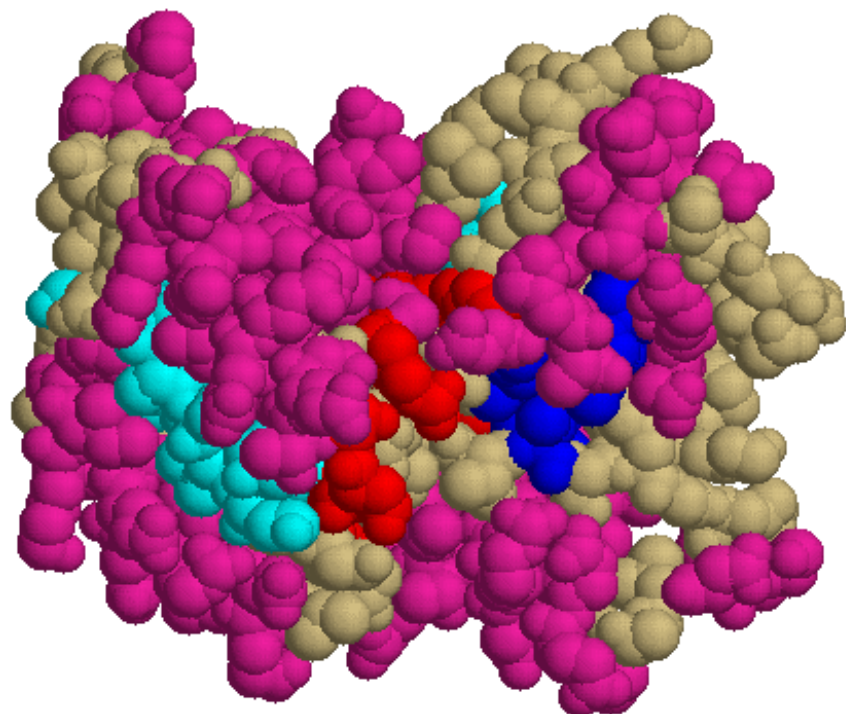
Variabilidad en exactitud media por proteína



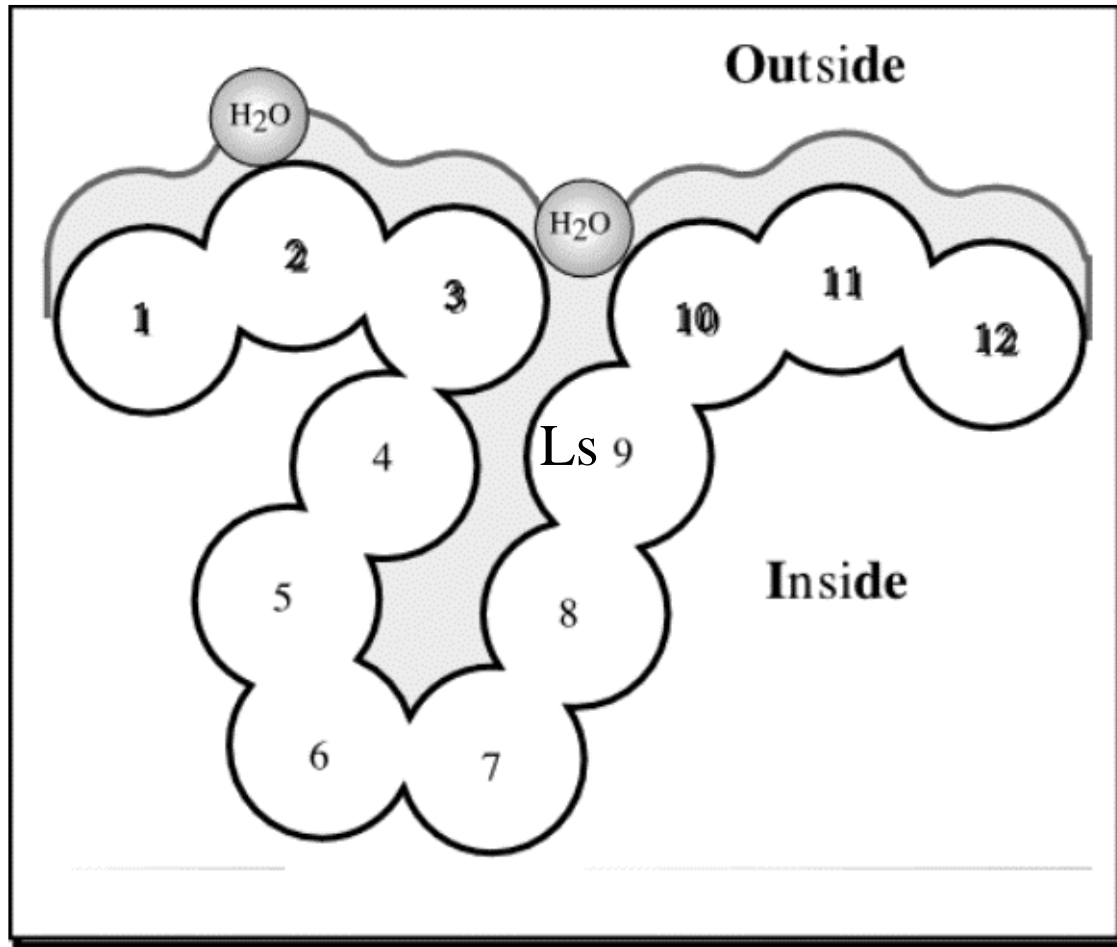
Métodos 1D

Accesibilidad al solvente

- . Discriminación de modelos
- . Sitios funcionales y de interacción
- . Diseño de mutantes, proteínas marcadas, etc.



Accesibilidad al solvente

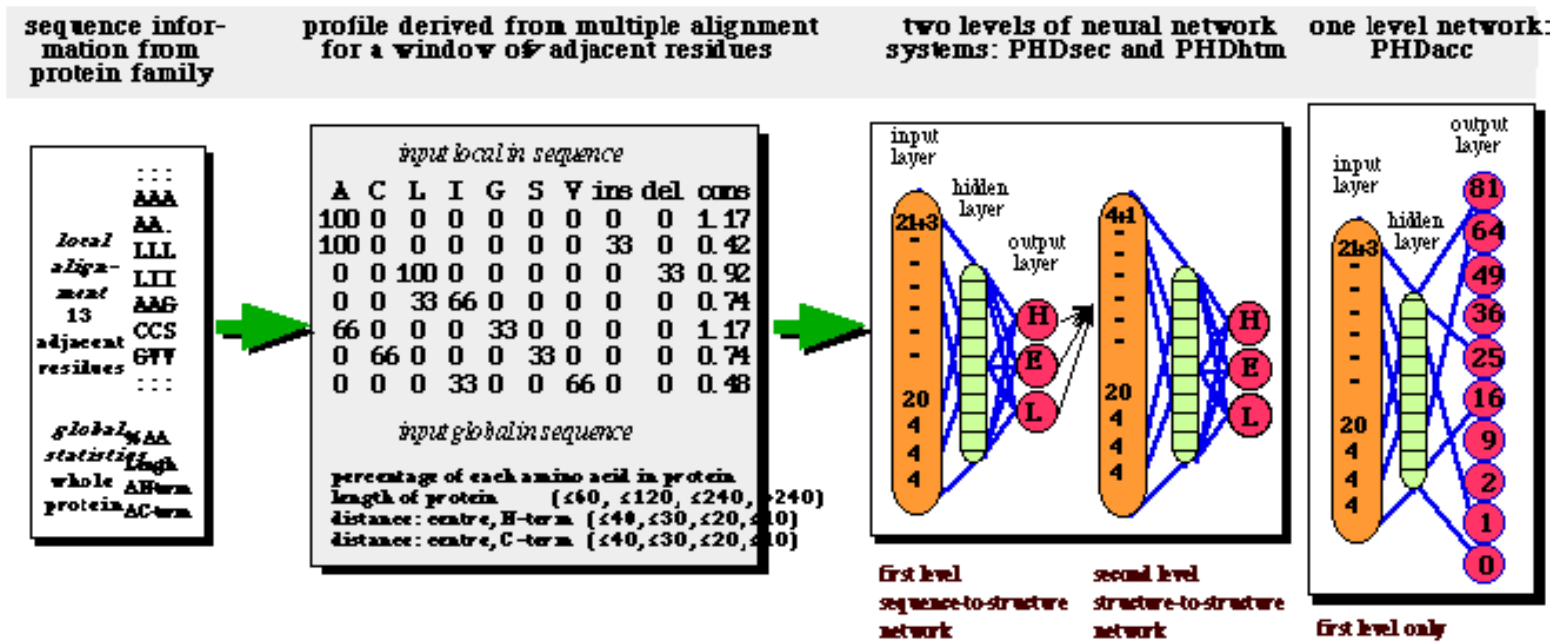


Los programas de definición de accesibilidad (a partir de la estructura 3D) reportan, para cada residuo, la superficie accesible en Å².

La mayoría de los métodos de predicción reducen el problema a la predicción de dos estados **oculto** (accs. relativas. <16%, abs <50 Å²) o **expuesto** (accs. relativas >= 16%, abs >=50 Å²).

Accesibilidad al solvente

- Misma historia que estructura secundaria: frecuencias -> ventanas
-> redes neuronales + información evolutiva (alns.).
- Los programas suelen ser los mismos que para estructura secundaria, con pequeñas adaptaciones de la NN al caso concreto de la predicción de accesibilidad.

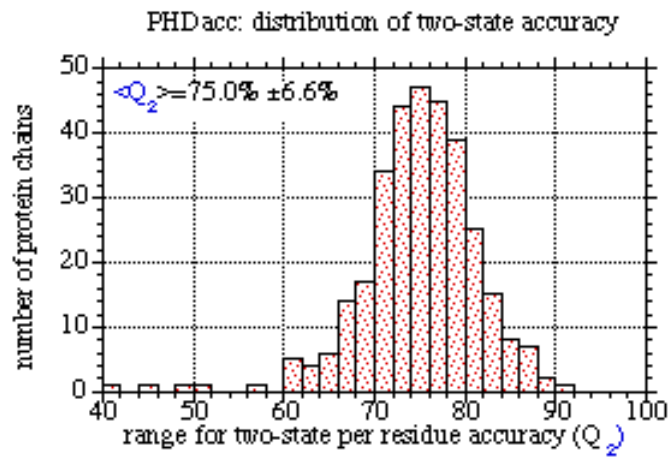
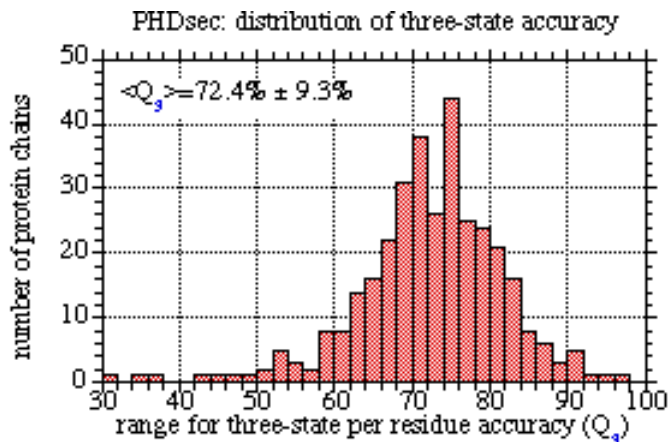
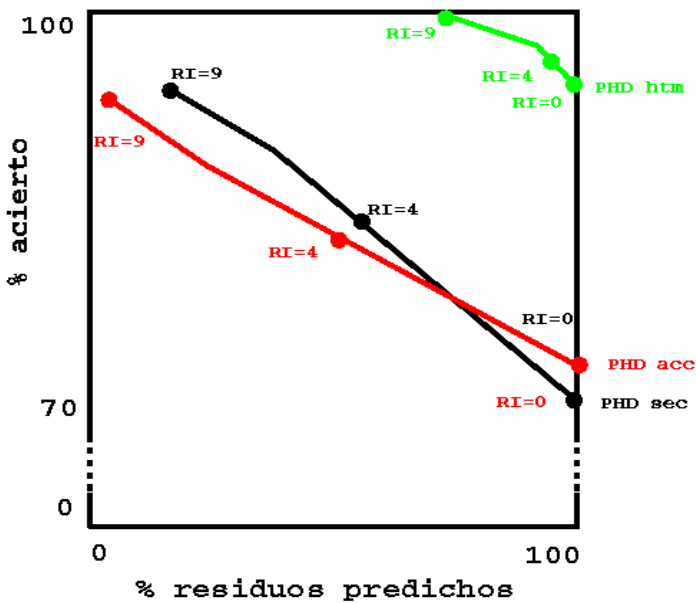


Rost, B. and Sander, C. (1993) Improved prediction of protein secondary structure by use of sequence profiles and neural networks.

Proc Natl Acad Sci U S A, **90**, 7558-7562.

Rost, B., Sander, C. and Schneider, R. (1994) PHD - A mail server for protein secondary structure prediction. *Comp. Applic. Biosci.*, **10**, 53-60.

Accesibilidad al solvente



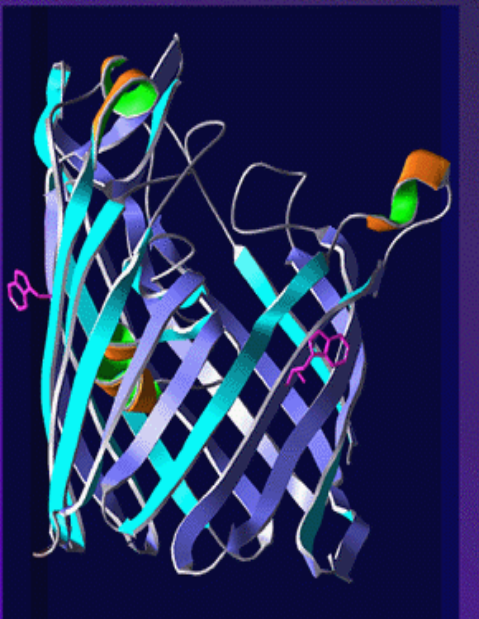
Métodos 1D

Segmentos Transmembrana

Known Structures of Transmembrane Protein Domains fall into Two Categories



α-Helical Bundle
(Bacteriorhodopsin, PDB 1AP9)



β-Barrel
(Matrix Porin, PDB 10PF)

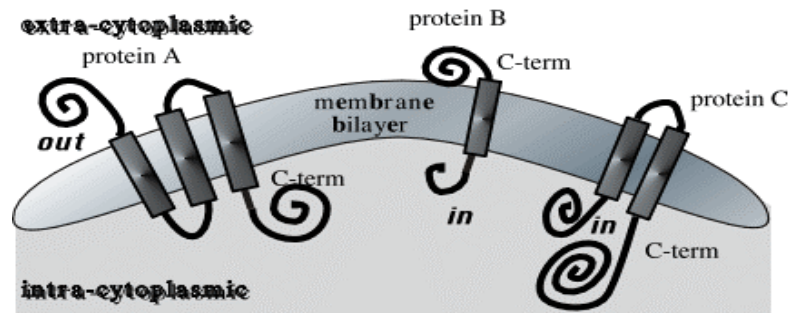
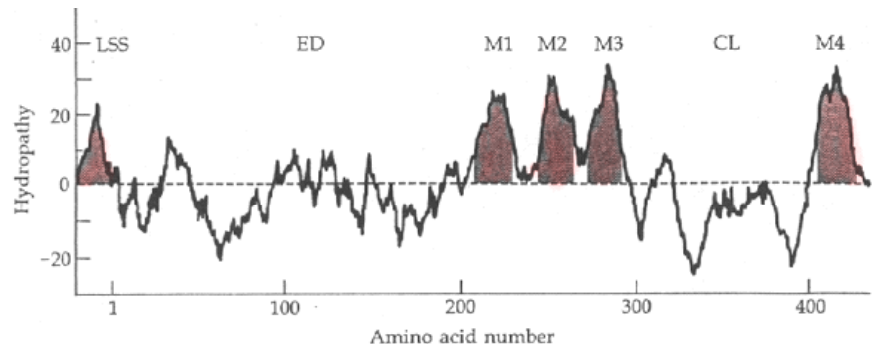
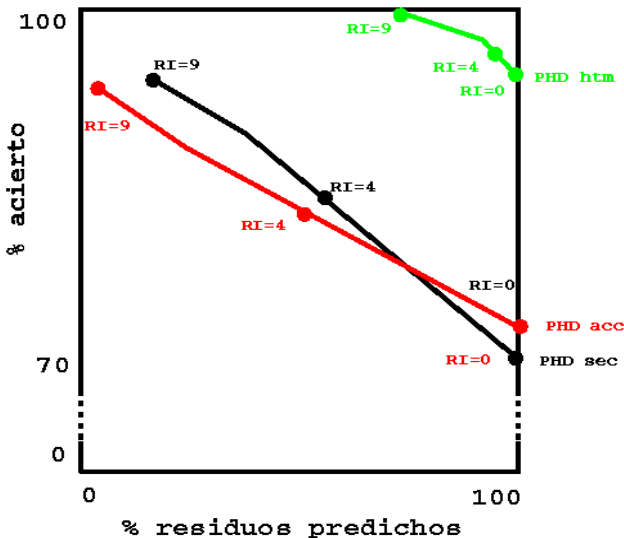
- Difíciles de cristalizar.
- Pocas estructuras.
- Primera información sobre dominios, zonas funcionales, etc.

Segmentos Transmembrana

Hélices transmembrana

(1) Las hélices transmembrana tienden a tener una longitud de 20-30 resíduos con una hidrofobidad total alta.

(2) Las regiones de conexión entre hélices del interior del citoplasma tienen una carga positiva mayor que las del exterior



Positive-inside-rule

| | | | |
|------------|------------|------------|------------|
| 5 | 30 | 6 | 5 |
| $\sum = 2$ | $\sum = 5$ | $\sum = 3$ | $\sum = 1$ |
| R+K | R+K | R+K | R+K |

Loop lengths
Charge:
Number of R+K in loops 1-4

final prediction:
 $\Delta = (5+1) - (2+3) > 0$
 \Rightarrow first loop *out*

Segmentos Transmembrana

Hélices transmembrana

MEMSAT - <http://bioinf.cs.ucl.ac.uk/psipred/>

Algoritmo de programación dinámica que hace predicciones basadas en tablas estadísticas compiladas de los datos de proteínas de membrana.

TMAP - <http://www.mbb.ki.se/tmap/index.html>

Usa estadísticas extraídas de perfiles de secuencia.

TopPred2 - <http://bioweb.pasteur.fr/seqanal/interfaces/toppred.html>

Promedia los valores de hidropatía con una ventana trapezoidal

HMMTOP - <http://www.enzim.hu/hmmtop/>

Se definen 5 estados estructurales y mediante HMMs para generar fragmentos de secuencia que maximicen la frecuencia de cada estado.

PHDhtm - <http://www.embl-heidelberg.de/predictprotein/>

Combina redes neuronales, alineamientos múltiples y programación dinámica (proporciona un índice de fiabilidad).

DAS - <http://www.enzim.hu/DAS/DAS.html>

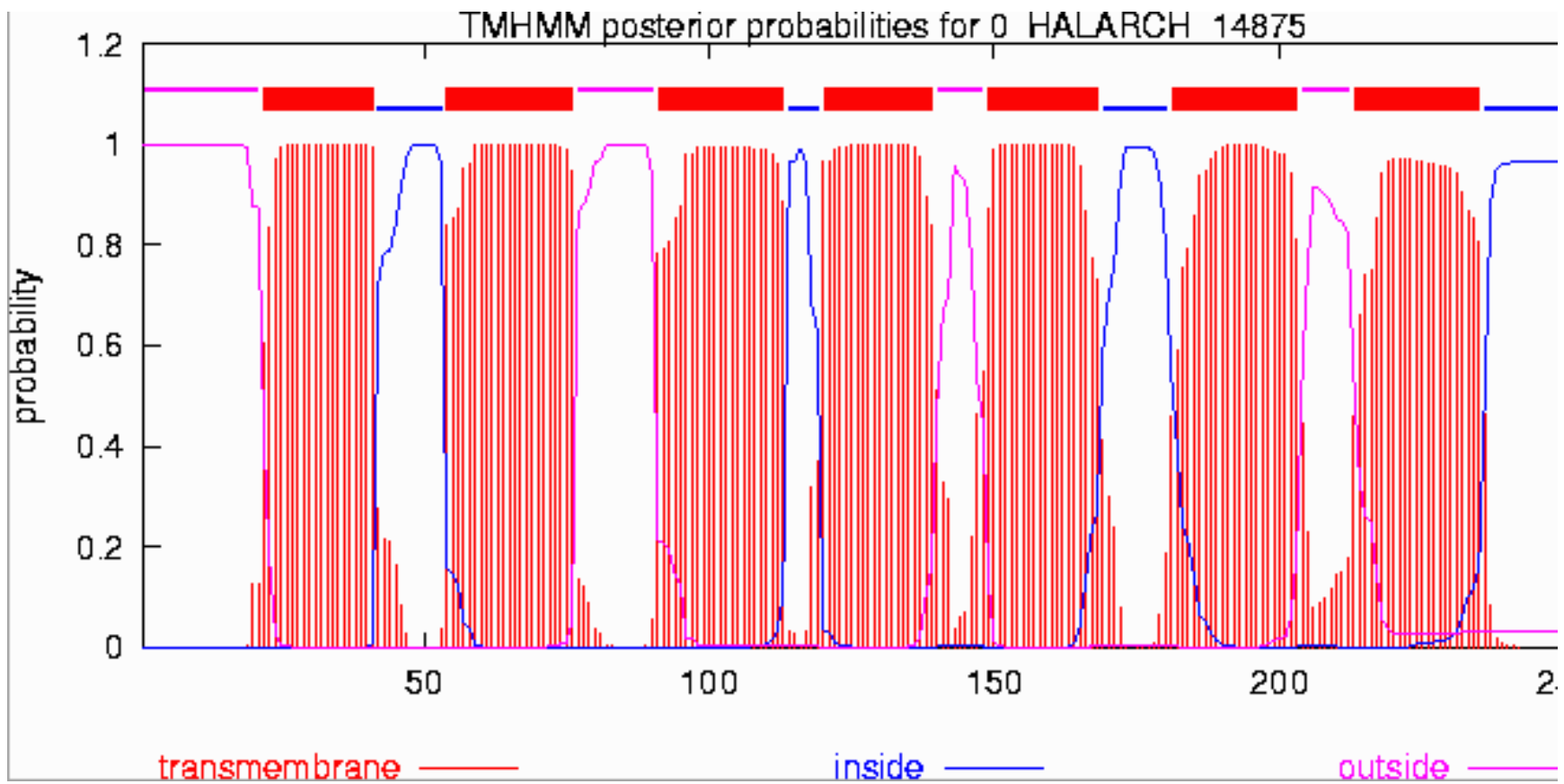
Utiliza alineamientos múltiples de un conjunto no redundante de proteínas de membrana.

TMHMM - <http://www.cbs.dtu.dk/services/TMHMM/>

Métodos estadísticos y HMMs que ayudan a mejorar la localización y orientación de hélices trans-membrana.

Segmentos Transmembrana

Hélices transmembrana



Predicciones 1D

Otros

ExPASy Proteomics tools: <http://www.expasy.ch/tools/>
CBS prediction servers: <http://www.cbs.dtu.dk/services/>

COIL – Coiled-coil regions.

PSORT - prediction of signal proteins and localisation sites

SignalP - prediction of signal peptides

ChloroP - prediction of chloroplast peptides

NetOGlyc - prediction of O-glycosylation sites in mammalian proteins

Big-PI - prediction of glycosid -phosphatidyl inositol modification sites

DGPI - prediction of anchor and breakage sites for GPI

NetPhos - prediction of phosphorylation sites (Ser, Thr, Tyr) in eukaryotes

NetPicoRNA - prediction of cleavage sites for proteases in the picornavirus

NMT - prediction of N-miristoilation of N-terminals

Sulfinator - predicts sulphattation sites in tyrosines

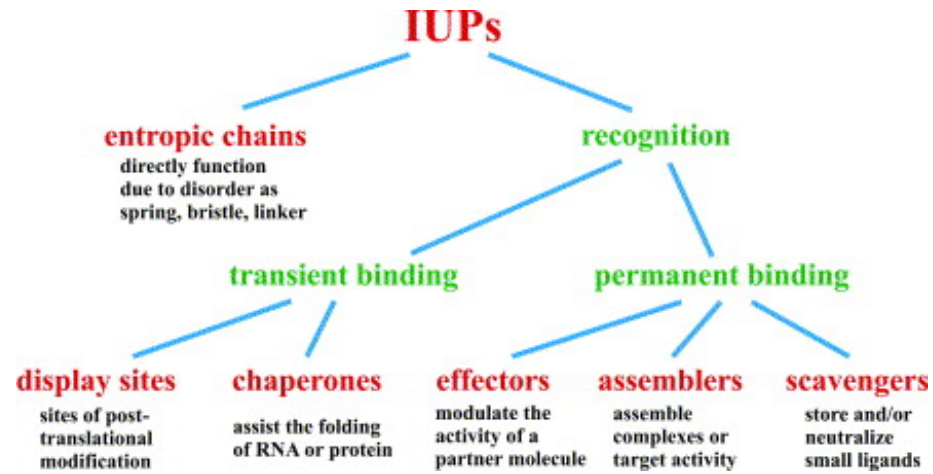
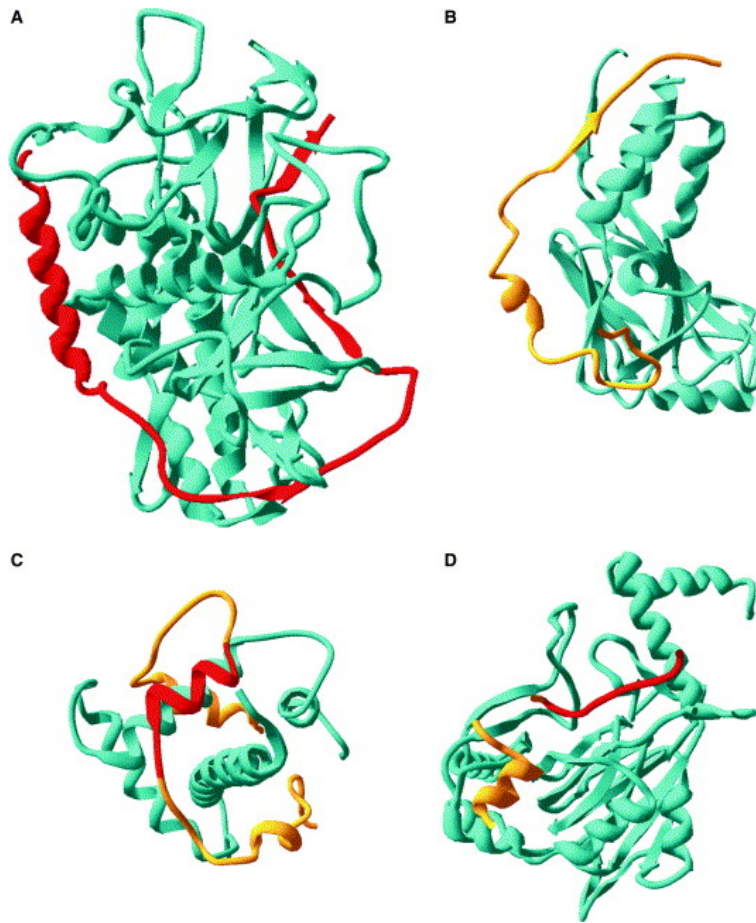
.....

...



[**a b c d e f g**]_n

Proteínas y regiones desestructuradas



Tompa, P. (2005) The interplay between structure and function in intrinsically unstructured proteins. *FEBS Lett*, **579**, 3346-3354.

Vucetic, S., Brown, C. J., Dunker, A. K. & Obradovic, Z. Flavors of protein disorder. *Proteins* **52**, 573-84. (2003).

Regiones desestructuradas

Métodos de predicción

| Group | N | CASP6 | | | |
|-------|----|-------|-------|-------|-------|
| | | Spec. | Sens. | Prod. | Score |
| 193 | 66 | 0.715 | 0.828 | 0.593 | 6.57 |
| 96 | 65 | 0.507 | 0.955 | 0.485 | 5.07 |
| 3 | 66 | 0.496 | 0.949 | 0.471 | 4.84 |
| 347 | 66 | 0.509 | 0.915 | 0.466 | 4.66 |
| 676 | 58 | 0.450 | 0.952 | 0.428 | 4.31 |
| 18 | 23 | 0.358 | 0.990 | 0.354 | 4.20 |
| 60 | 66 | 0.398 | 0.965 | 0.384 | 3.65 |
| 675 | 59 | 0.584 | 0.715 | 0.418 | 3.43 |
| 461 | 65 | 0.422 | 0.885 | 0.373 | 3.11 |
| 536 | 66 | 0.344 | 0.983 | 0.338 | 3.09 |
| 633 | 64 | 0.549 | 0.713 | 0.391 | 3.00 |
| 686 | 57 | 0.323 | 0.964 | 0.312 | 2.81 |
| 472 | 61 | 0.390 | 0.891 | 0.348 | 2.62 |
| 667 | 59 | 0.326 | 0.903 | 0.295 | 2.20 |
| 673 | 59 | 0.459 | 0.743 | 0.341 | 2.15 |
| 19 | 44 | 0.244 | 0.987 | 0.240 | 1.81 |
| 674 | 59 | 0.178 | 0.980 | 0.175 | 1.15 |
| 679 | 55 | 0.163 | 0.995 | 0.162 | 1.00 |
| 545 | 64 | 0.406 | 0.691 | 0.280 | 0.80 |
| 245 | 60 | 0.060 | 0.942 | 0.057 | -0.55 |

Compositionally biased regions. Wootton et al (*SEG*).

Specific for disorder. 003 Jones UCL (David Jones, University College London) support vector machines (*DISOPRED*)

Wootton, J.C. and Federhen, S. (1996) Analysis of compositionally biased regions in sequence databases. *Meth in Enzym*, **266**, 554-571

Ward, J. J., McGuffin, L. J., Bryson K., Buxton, B. F. & Jones, D. T. (2004). The DISOPRED server for the prediction of protein disorder. *Bioinformatics*, **20**:2138-2139.

http://pdg.cnb.uam.es/pazos/cursos/protstr_cnb